



Universidade Federal de Juiz de Fora

1º Trabalho de Controle

Alunos: Dylan Soares e Maicown José da Rocha.

05 de maio de 2024

Sumário:

Questão 1:.....	3
Questão 2:.....	6
Questão 3:.....	12
Sistema 1:.....	21
Sistema 2:	22
Questão 4:.....	25

Questão 1:

A questão 1 tem como objetivo a análise gráfica pelo método de frequências usando o diagrama de bode, esse já dado pela questão.

Estimamos a função de transferência $G(s)$ do processo a partir do gráfico de bode. Em primeiro, analisamos suas assíntotas, verificando assim que temos decaimento de 20dB/década em 1 rad/s e 40 dB/década em 10 rad/s.

Diante disso, obtivemos:

$$\frac{K}{(s+1)(s+10)^2}$$

Foi calculado o ganho a partir dos 20dB contínuo uma década antes de 20dB.

$$20 \log(K) = 20$$

$$K = 10.$$

Por conseguinte, foi analisado o Máximo sobressinal em aproximadamente 8dB.

Com isso utilizamos $20 \log(M_p) = 8$

$$M_p = 10^{\frac{8}{20}} \cong 2,51.$$

Em seguida comparamos com o fator de segunda ordem

$$\frac{\omega_n^2}{s^2 + 2\zeta\omega_n s + \omega_n^2}$$

Chegando em:

$$\frac{100}{(s^2 + 20s + 100)}$$

Tendo esse formato em mente e que o máximo sobressinal ocorre com $0 \leq \zeta \leq 0.707$, utilizou-se a fórmula:

$$M_p = \frac{1}{2\zeta\sqrt{1-\zeta^2}}$$

E foi encontrado $\zeta \cong 0.2$.

Utilizando o critério de $2\zeta\omega_n$ foi obtido o seguinte resultado:

$$2\zeta\omega_n = 4$$

Assim conseguimos a seguinte Função de Transferência:

$$\frac{1000}{(s + 1)(s^2 + 4s + 100)}$$

Em prosseguimento foi realizado a plotagem da função de transferência no MATLAB:

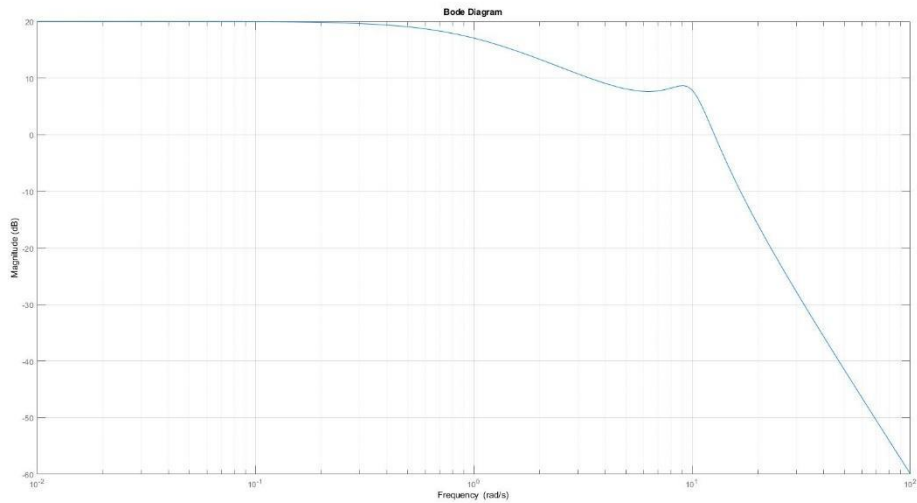


Figura 1: Gráfico de Bode Módulo da Questão 1.

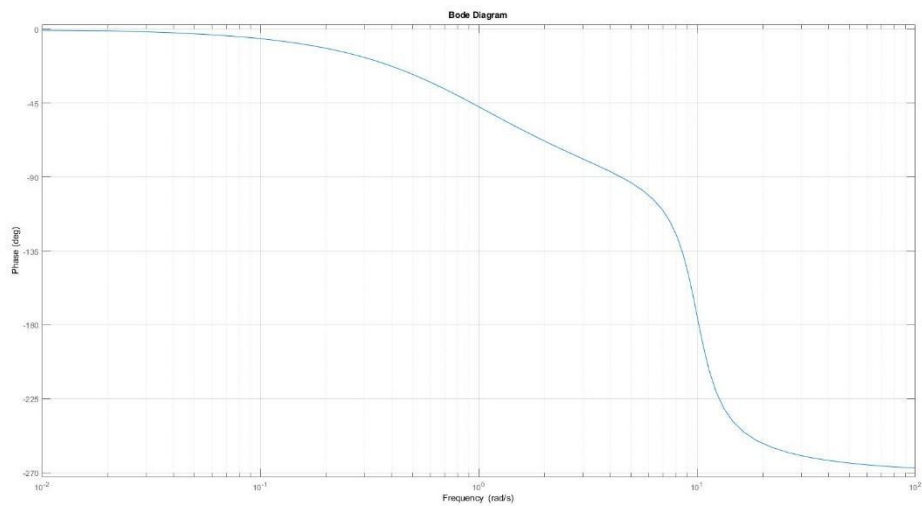


Figura 2: Gráfico de Bode Fase da Questão 1.

Código utilizado:

```
clc
clear
close all

% Definindo a função de Transferência:
num = 1000; % numerador
den = [1 5 104 100]; % denominador

% Função de transferência a partir da função tf
G = tf (num den);

bode(G);
```

Por fim determinamos a saída $y_{\infty}(t)$, na questão é adotado a entrada como:

$$x(t) = 10 \text{ sen}(10t).$$

Aplicamos o $|G(j\omega)|$, em $\omega = 10 \text{ rad/s}$

$$|G(j\omega)| = \frac{1000}{\sqrt{\omega^2 + 1} * \sqrt{(-\omega^2 + 100)^2 + (4\omega)^2}}$$
$$|G(j10)| = 2,487.$$

Utilizando agora para a fase:

$$\angle G(j\omega) = -\text{arctg}(\omega) - \text{arctg}\left(\frac{4\omega}{-\omega^2 + 100}\right)$$

Assim chegamos em uma fase de $-174,289^\circ$

Em fim obtemos a resposta:

$$y_{\infty}(t) = X \cdot |G(j\omega)| \cdot \text{sen}(\omega t + \emptyset)$$
$$y_{\infty}(t) = 24,87 \text{ sen}(10t - 174,289^\circ)$$

Questão 2:

A questão 2 apresenta um sistema de controle com realimentação unitária, tendo em dois blocos do sistema duas variáveis que precisam ser definidas para a estabilidade do mesmo. A função de transferência de malha aberta está representada abaixo:

$$G(s) = \frac{K_1(sK_2 + 1)}{s(s - 1)}$$

Como existe um polo na origem, o mapeamento do semiplano direito deve ser feito fazendo um pequeno desvio da origem, como um semicírculo. Tal mapeamento pode ser visualizado a seguir. O raio do semicírculo menor e maior tende a zero e infinito, respectivamente.

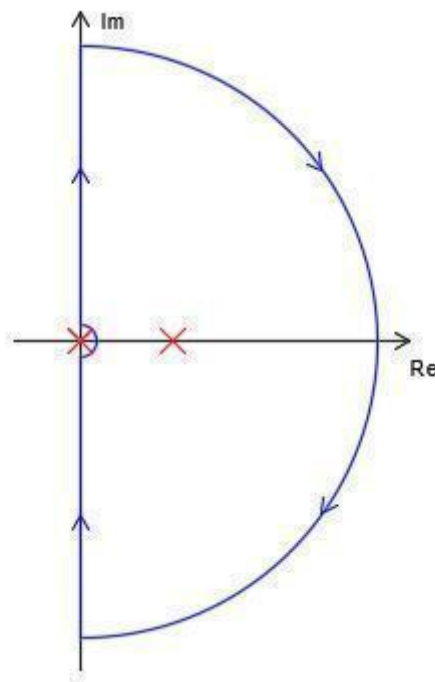


Figura 3: Desenho esquemático do contorno de Nyquist

Para o mapeamento, começou-se com $\omega \rightarrow 0$ pela direita e, aplicando o limite:

$$\lim_{r \rightarrow 0^+} \frac{K_1(sK_2+1)}{s(s-1)} \Big|_{s=re^{j\theta}} \rightarrow \infty \angle 90^\circ$$

Repetindo para $\omega \rightarrow 0$ e $\omega \rightarrow 0$ pela esquerda, obtém-se;

$$\lim_{r \rightarrow 0^-} \frac{K_1(sK_2+1)}{s(s-1)} \Big|_{s=re^{j\theta}} \rightarrow \infty \angle (-180^\circ)$$

$$\lim_{r \rightarrow 0^-} \frac{K_1(sK_2+1)}{s(s-1)} \Big|_{s=re^{j\theta}} \rightarrow \infty \angle (-90^\circ)$$

Para $\omega \rightarrow \infty$:

$$\lim_{r \rightarrow \infty} \frac{K_1(sK_2+1)}{s(s-1)} \Big|_{s=re^{j\theta}} \rightarrow 0 \angle 90^\circ$$

O diagrama de Nyquist tem o seguinte formato:

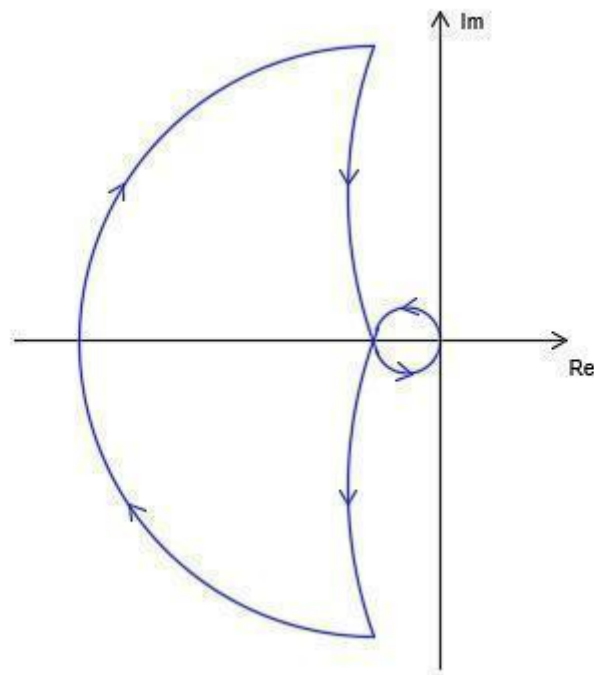


Figura 4: Diagrama Esquemático de Nyquist

Esse sistema possui um polo e nenhum zero no semiplano direito. Isso implica em que o número de voltas que se pode dar em torno do ponto $(-1+j0)$ deve ser uma volta no sentido anti-horário. Para isso, deve-se encontrar a frequência ω em que o gráfico cruza o eixo real negativo, ou seja, a parte imaginária de $G(j\omega)$ deve ser zero. Depois, substitui-se a frequência na parte real de $G(j\omega)$ para encontrar o ponto em que o gráfico cruza o eixo real negativo. Assim, ao realizar as devidas manipulações, tem-se:

$$\begin{aligned} \text{Im}[G(j\omega)] &= \frac{\omega K_1 - K_1 K_2 \omega^3}{\omega^4 - \omega^2} = 0 \\ \omega &= K_2^{-(1/2)} \end{aligned}$$

Deste modo, substituindo-se ω na parte real de $G(j\omega)$:

$$\text{Re}[G(j\omega)] = \frac{-\omega^2 K_1 - K_1 K_2 \omega^2}{\omega^4 + \omega^2} \Big|_{\omega=K_2^{-(1/2)}} = -K_1 K_2$$

Com isso, para que o sistema seja estável:

$$-K_1 K_2 \leq -1$$

$$K_1 K_2 \geq 1$$

O código utilizado foi:

```
clc
clear
close all

%Valores de k1 e k2 para estabilidade
% cont = 1;
k1e = 1.5;
k2e = 1.5;

%Valores de k1 e k2 para instabilidade
% cont = 2;
k1i = 0.8;
k2i = 1;

% Definir a função de transferência G(s) em malha aberta
disp('estável = 1 ou instável = 2');
cont = input('selecione estável ou instável : ');

if cont==1
k1 = k1e;
```



```

k2 = k2e;
end

if cont==2
k1 = k1i;
k2 = k2i;
end

num = [k1*k2 k1];
den = [1 -1 0];
G = tf(num, den);

% a. Construir os diagramas de malha aberta
figure(1);
bode(G); % Diagrama de Bode de malha aberta
title('Diagrama de Bode de Malha
Aberta','FontSize',14,'Fontname','Arial');

figure(2);
nyquist(G);

[Gm,Pm,Wcg,Wcp] = margin(G);

% Convertendo para malha fechada e plotando o diagrama de Bode
H = feedback(G, 1);
figure(3);
bode(H); % Diagrama de Bode de malha fechada
title('Diagrama de Bode de Malha
Fechada','FontSize',14,'Fontname','Arial');

% c. Apresentar a resposta ao degrau em malha fechada
if cont==1
figure(4);
step(H); % Resposta ao degrau em malha fechada
title('Resposta ao degrau em malha fechada para sistema
estável','FontSize',14,'Fontname','Arial');
end

if cont==2
figure(4);
step(H); % Resposta ao degrau em malha fechada
title('Resposta ao degrau em malha fechada para sistema
instável','FontSize',14,'Fontname','Arial');
end
if Gm>=1
    fprintf('Sistema estável');
else
    fprintf('Sistema instável');
end
end

```

Para o sistema ser estável, o diagrama de Nyquist deve cruzar o eixo real negativo à esquerda do ponto $(-1+j0)$ e, como o ganho é o inverso do módulo do valor do ponto que cruza o eixo, ele é um parâmetro que pode ser utilizado para determinar a estabilidade do sistema. Para os valores usados no código de Matlab acima mostrado, para $k_1 = k_2 = 1,5$, temos um $G_m = 0,4444$ e o diagrama de Nyquist corta o eixo real em $(-2,25)$, demonstrando a estabilidade do sistema. Já para os valores de $k_1 = 0,8$ e $k_2 = 1$, temos um $G_m = 1,25$ e o diagrama de Nyquist corta o eixo real em $(-0,8)$, demonstrando a instabilidade do sistema. Abaixo estão os gráficos de resposta ao degrau para ambos os casos.

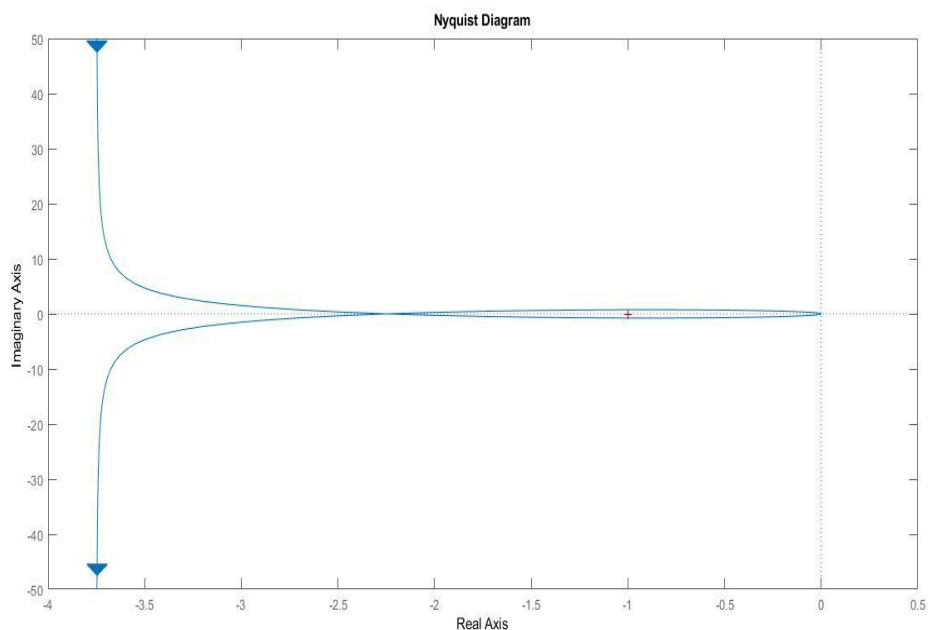


Figura 5: Diagrama de Nyquist para o Sistema Estável.

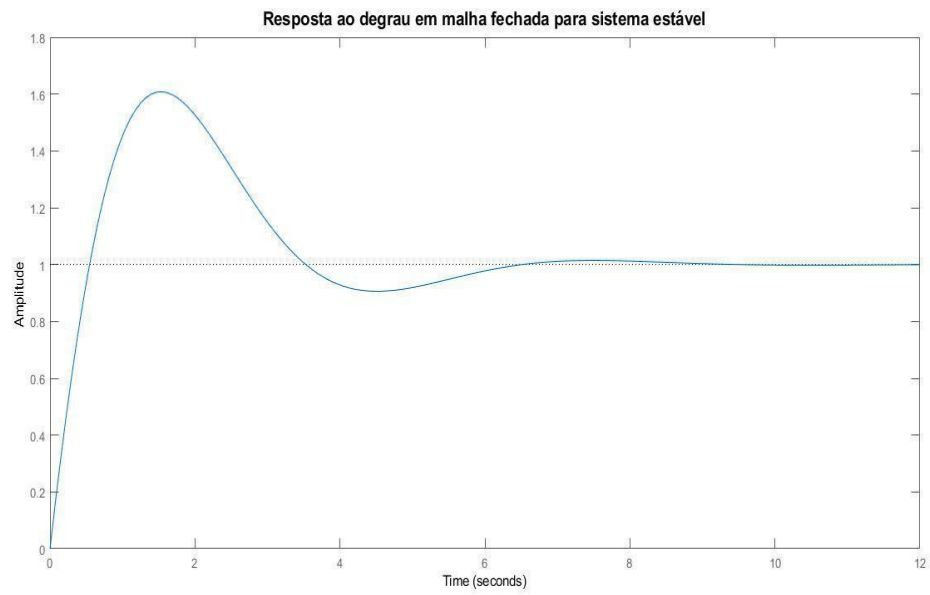


Figura 6: Resposta ao degrau em malha fechada para Sistema Estável.

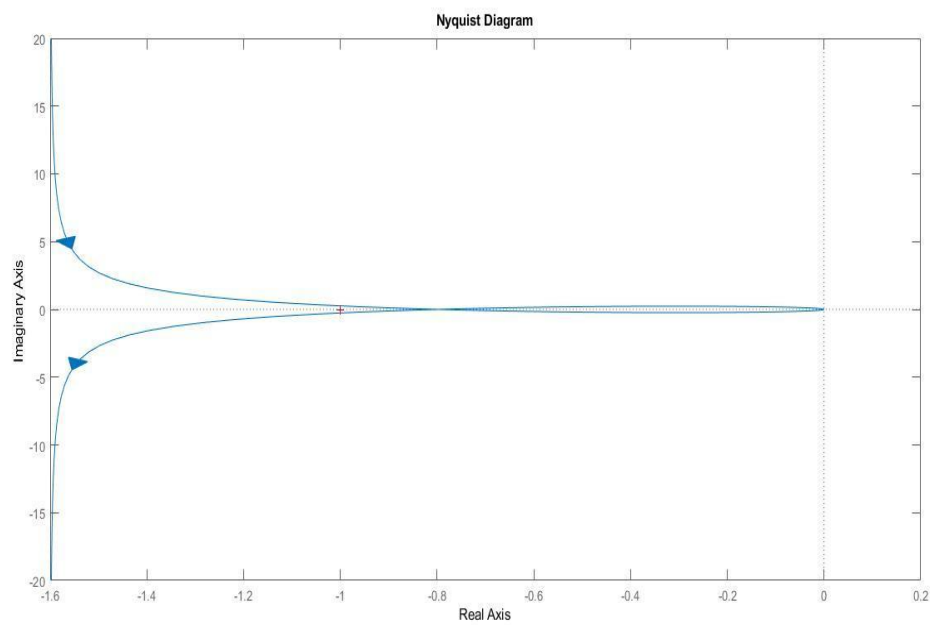


Figura 7: Diagrama de Nyquist para o Sistema Instável.

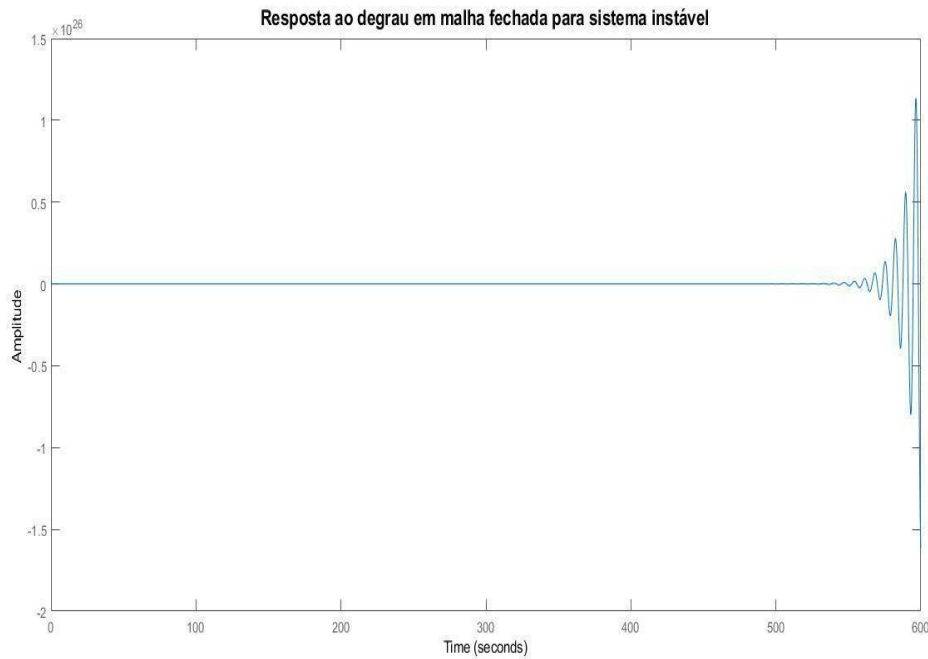


Figura 8:Resposta ao degrau em malha fechada para o sistema instável

Questão 3:

Nessa questão a análise foi feita no MATLAB e com auxílio de cálculos a fim de comparação, analisando dois sistemas de funções de transferência:

$$\frac{100(s+2)}{s(s+1)(s+4)} \text{ e } \frac{50(s+3)(s+5)}{s(s+2)(s+4)(s+6)}$$

Vale salientar que as bibliotecas stepinfo e lsim foram usadas para conseguir a comparação dos dados.

Os gráficos obtidos para o sistema 1:

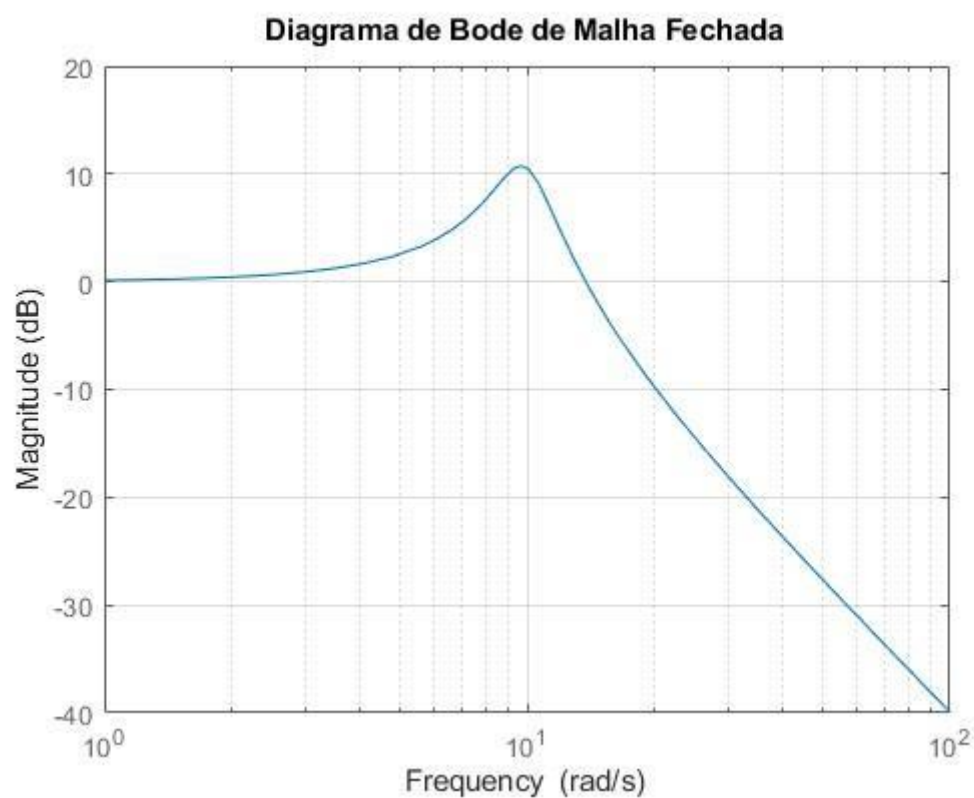


Figura 9: Módulo Malha Fechada Sistema 1

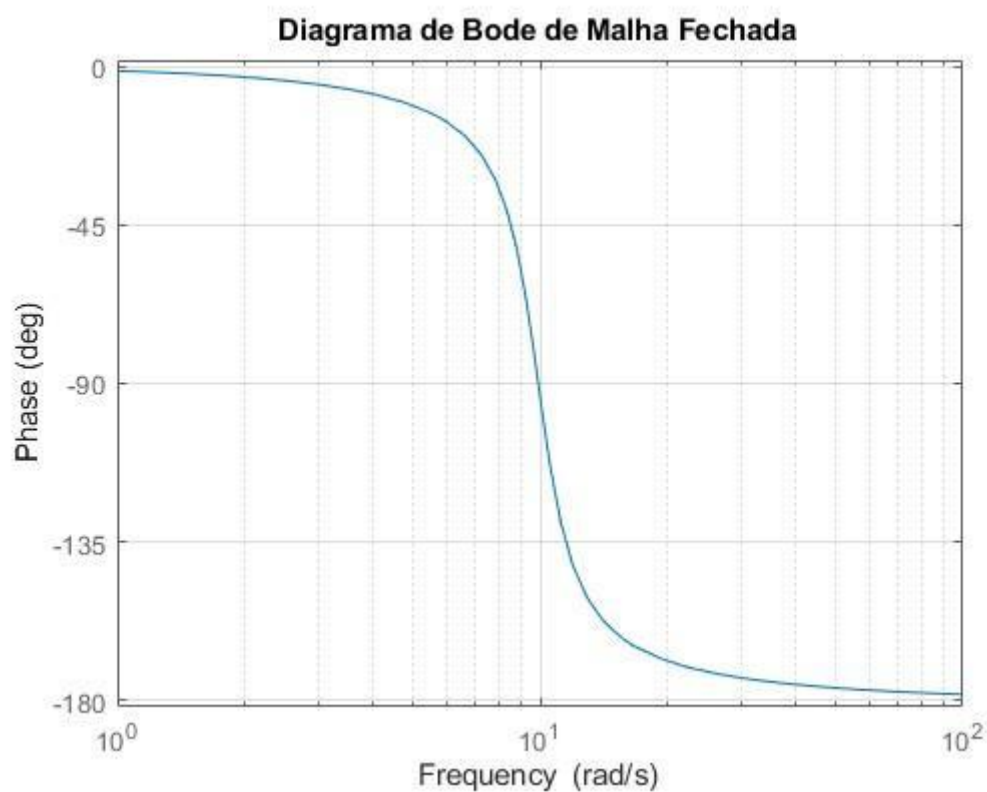


Figura 10: Fase Malha Fechada Sistema 1

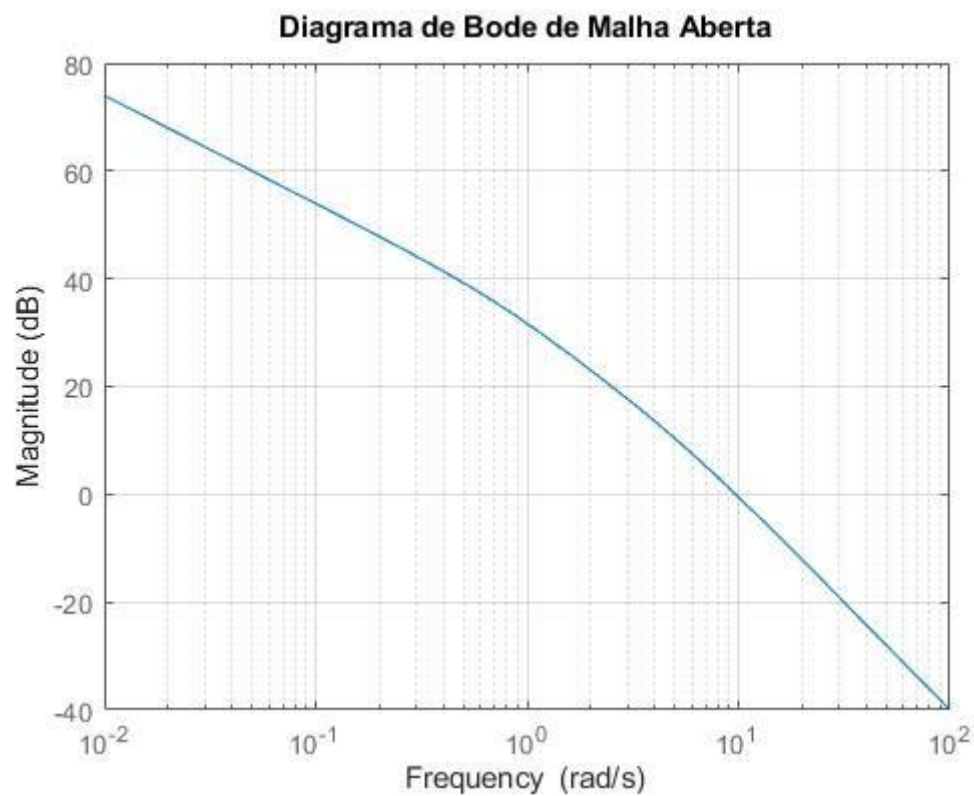


Figura 11: Módulo Malha Aberta Sistema 1

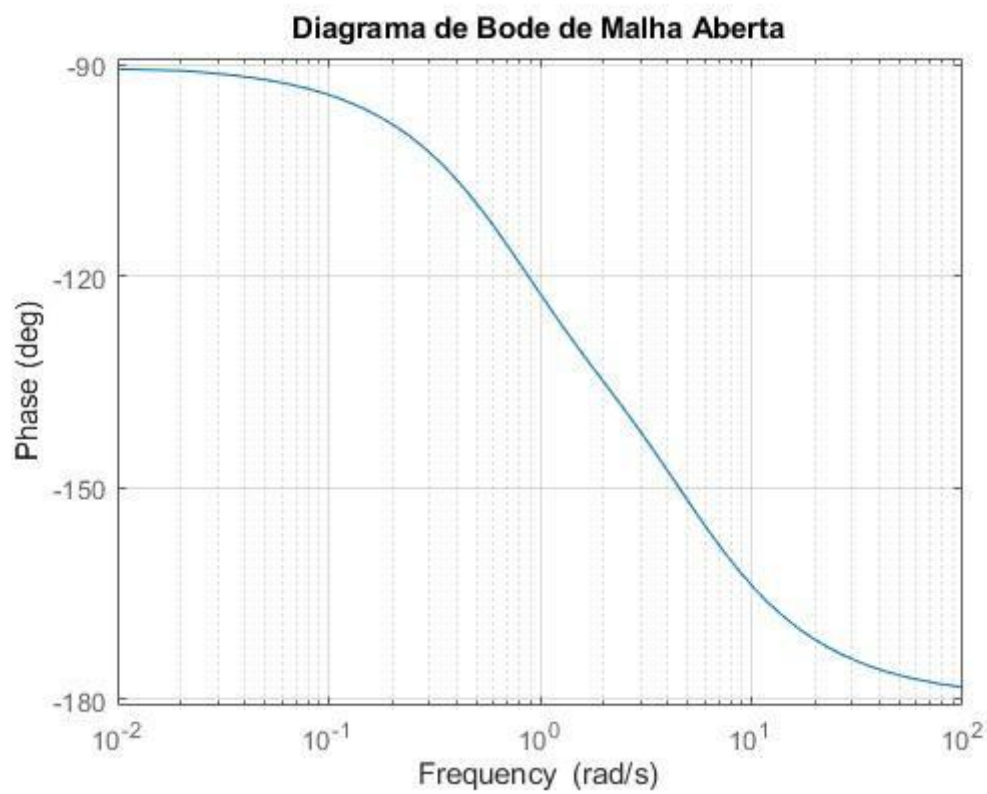


Figura 12: Fase Malha Aberta Sistema 1

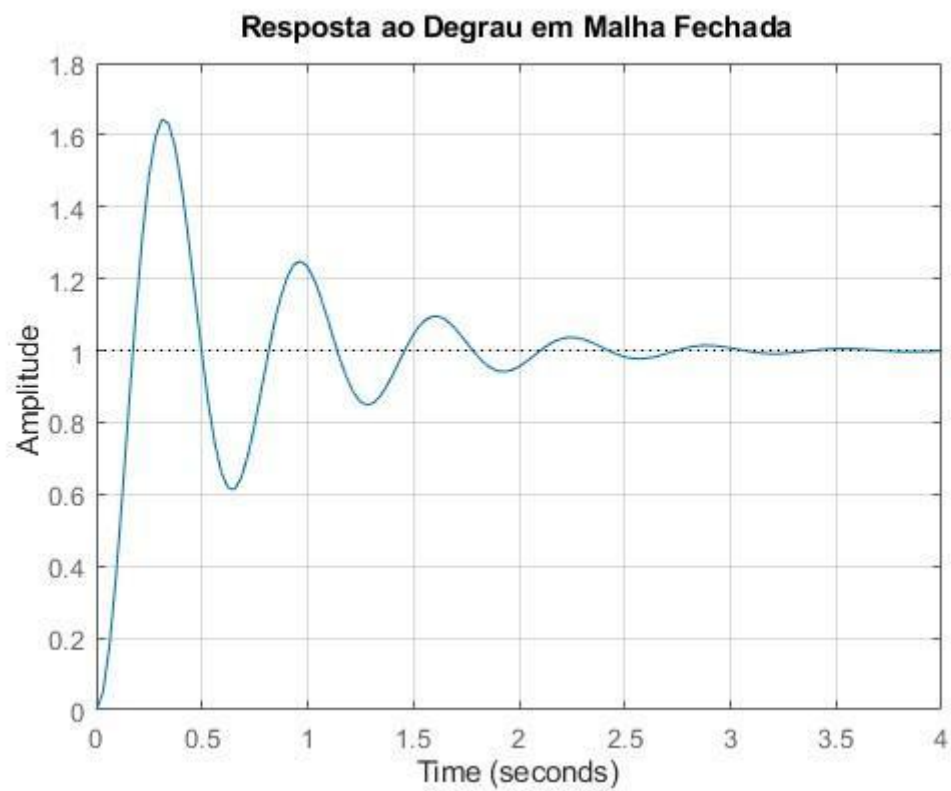


Figura 13: Resposta ao Degrau Sistema 1

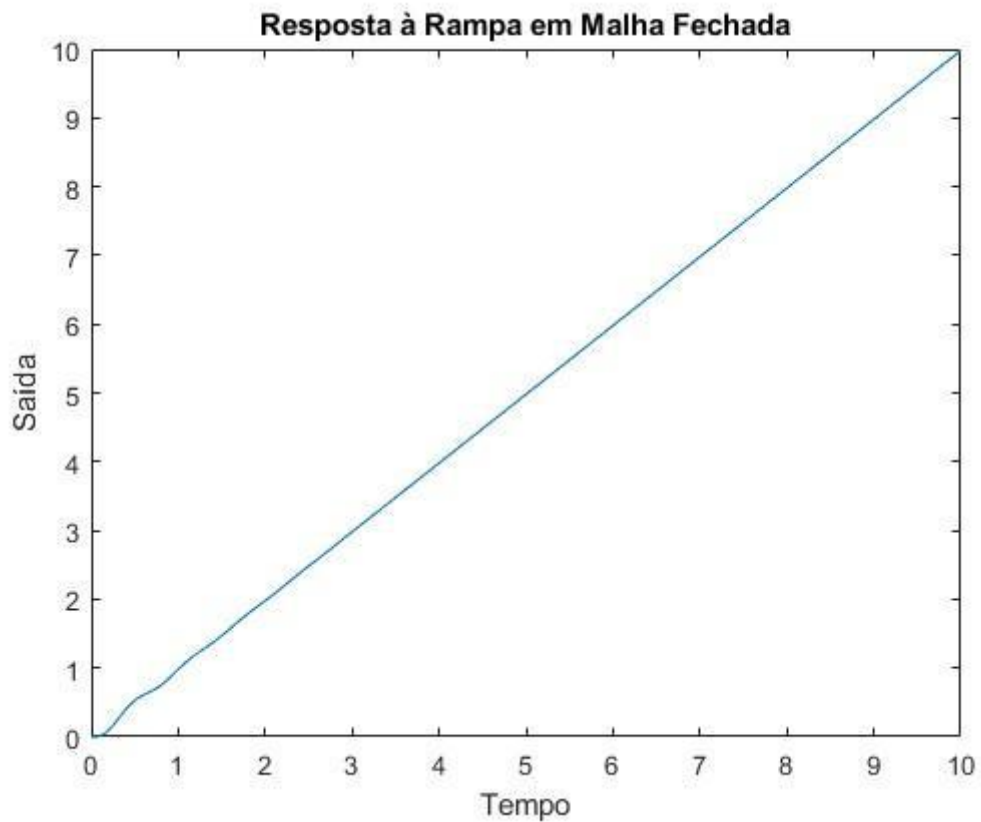


Figura 14: Resposta a Rampa Sistema 1

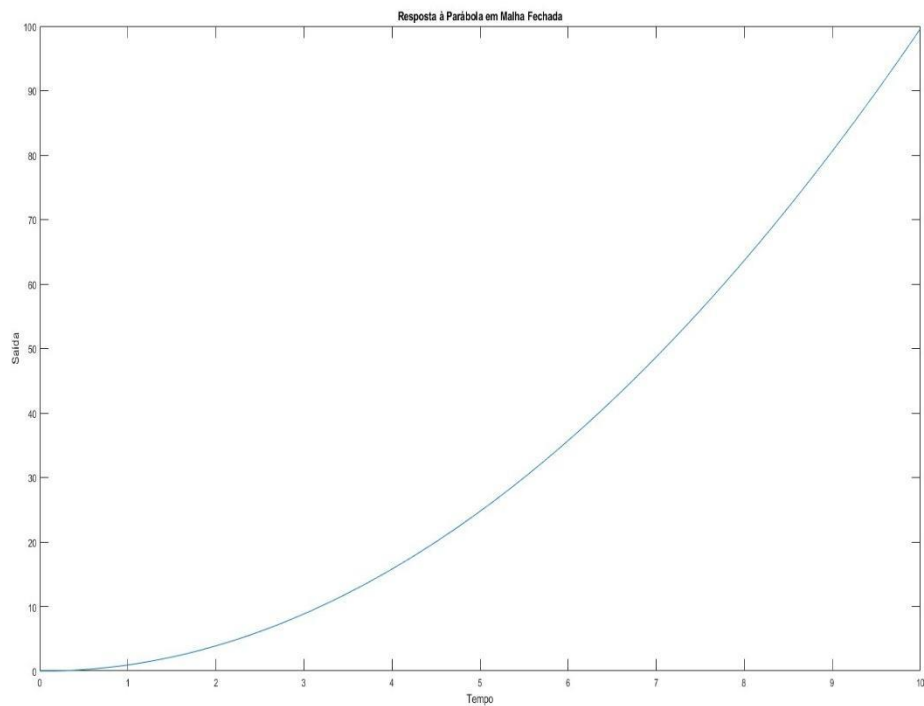


Figura 15: Resposta a Parábola Sistema 1

Ultrapassagem percentual: 64.38%
Tempo de acomodação: 2.62
Instante de pico: 0.31
Erro em regime permanente resposta ao degrau: 0.5000
Erro em regime permanente resposta a rampa: Inf
Erro em regime permanente resposta a parábola: Inf

Os gráficos obtidos para o sistema 2:

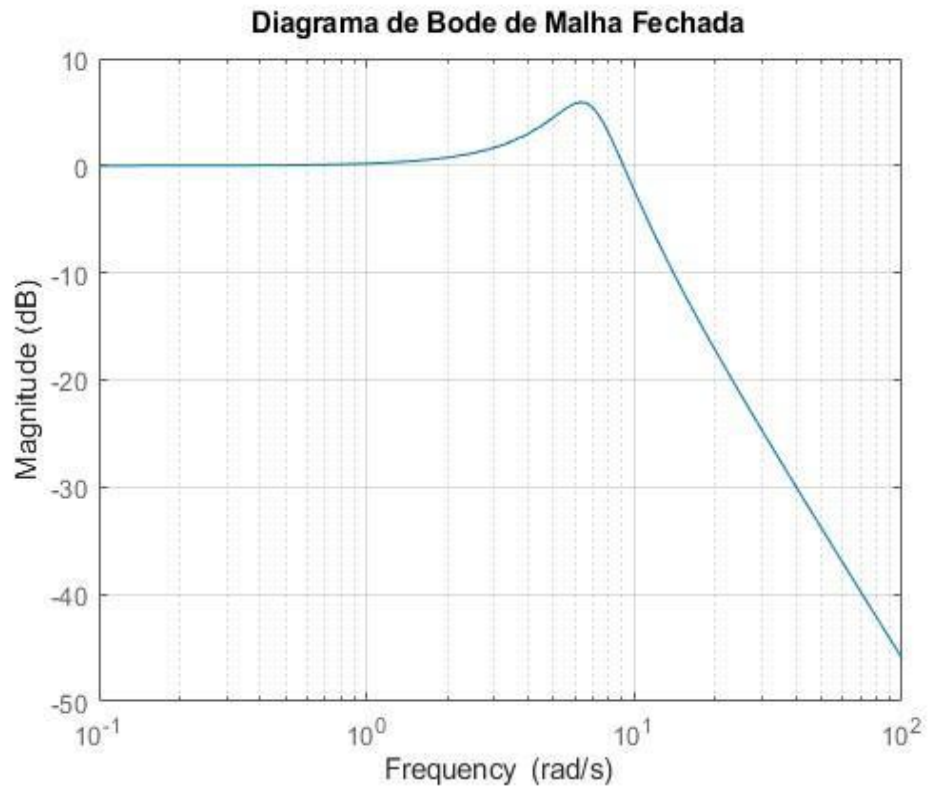


Figura 16: Módulo Malha Fechada Sistema 2

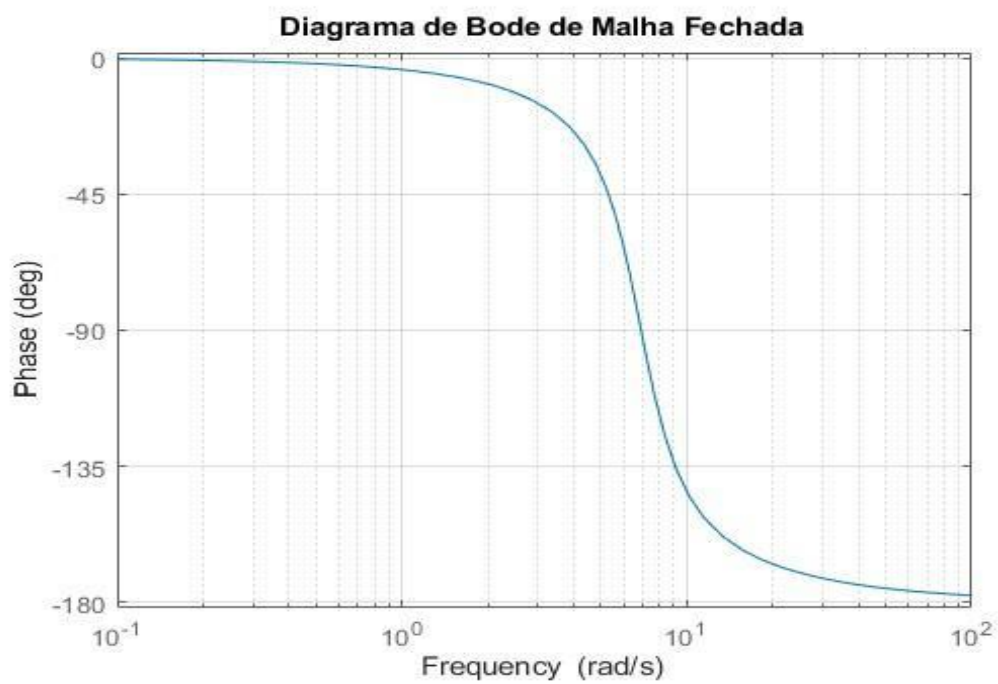


Figura 17: Fase Malha Fechada Sistema 2

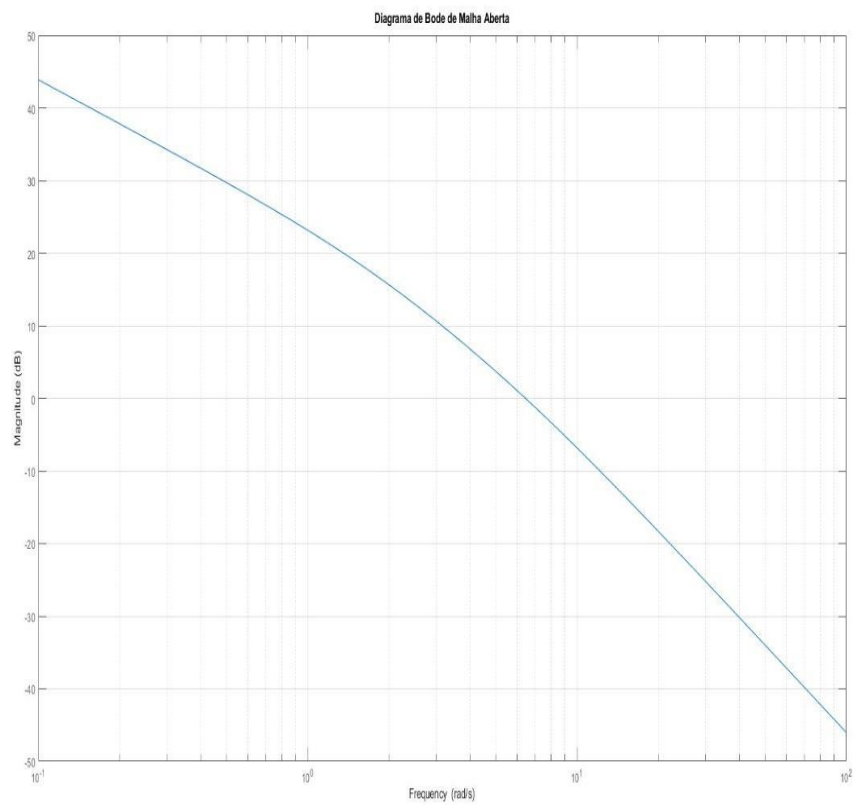


Figura 18: Módulo Malha Aberta Sistema 2

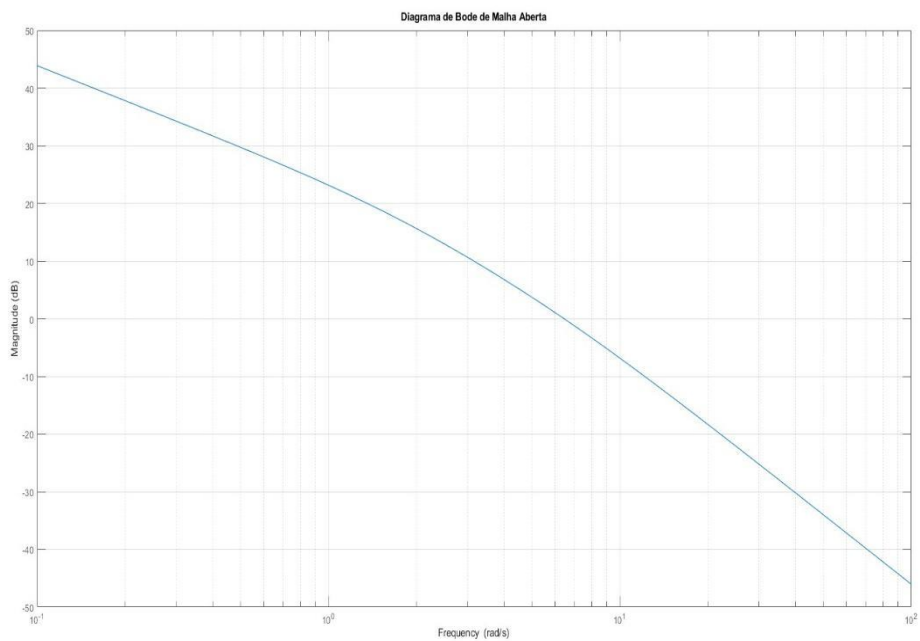


Figura 19: Fase Malha Aberta Sistema 2

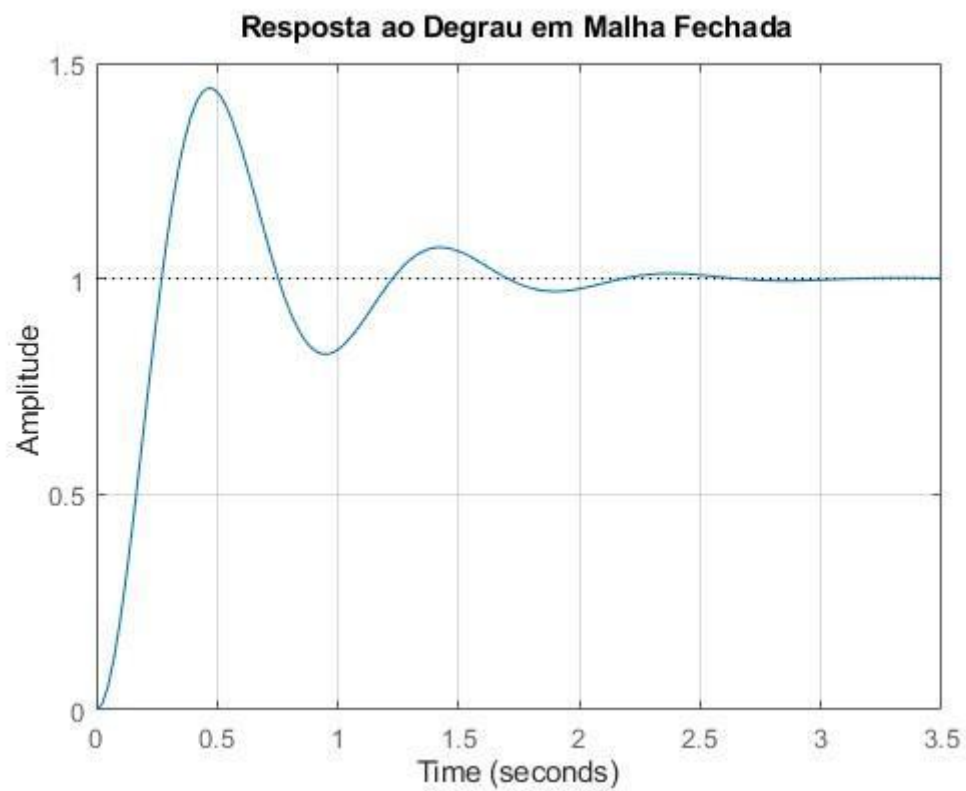


Figura 20: Resposta ao Degrau Sistema 2

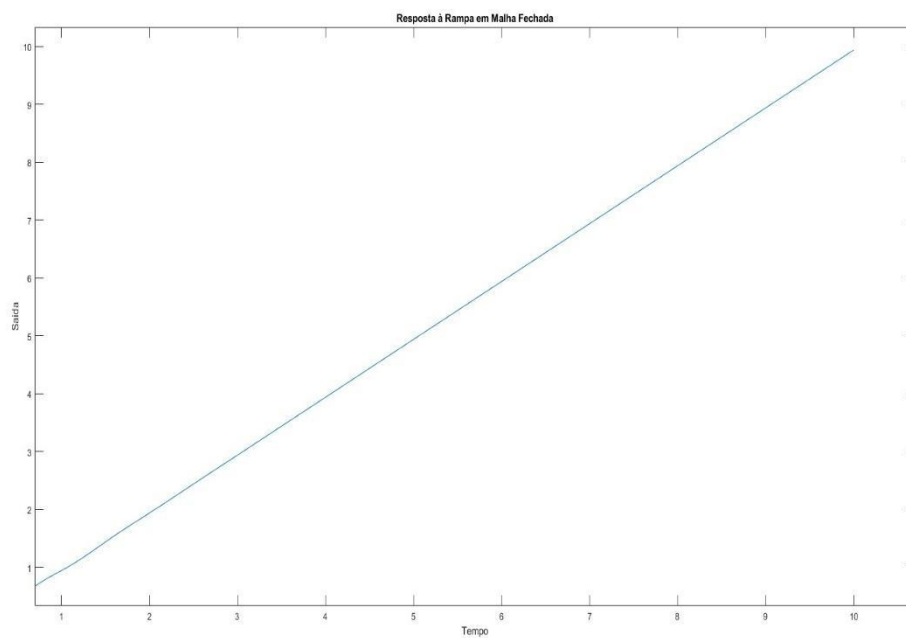


Figura 21: Resposta a Rampa Sistema 2

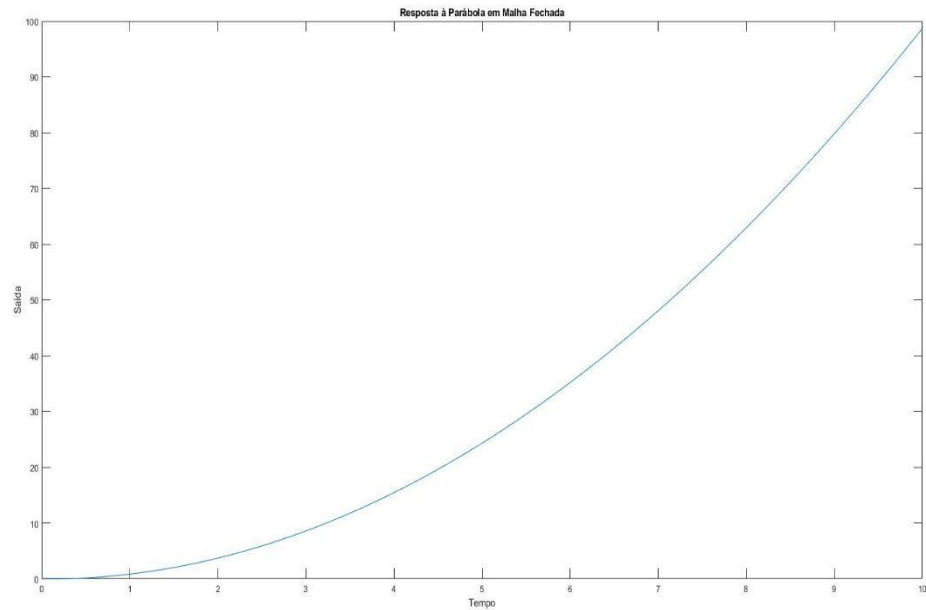


Figura 22: Resposta a Parábola Sistema 2

```

Ultrapassagem percentual: 44.26%
Tempo de acomodação: 2.03
Instante de pico: 0.47
Erro em regime permanente resposta ao degrau: 0.5000
Erro em regime permanente resposta a rampa: Inf
Erro em regime permanente resposta a parábola: Inf
  
```

A fim de comparação foi calculado a ultrapassagem percentual, tempo de acomodação, instante de pico e o erro em regime permanente para cada sistema:

Fórmulas usadas:

$$\%UP = e^{-(\zeta\pi/\sqrt{1-\zeta^2})} * 100$$

$$M_p = \frac{1}{2\zeta\sqrt{1-\zeta^2}}$$

$$\omega_n = \frac{4}{T_s \zeta}$$

$$\omega_n = \frac{\pi}{T_p \sqrt{1-\zeta^2}}$$

$$K_p = G(s)$$

$$e_{ss}(t) = \frac{1}{K_p}$$

Sistema 1:

A partir do gráfico de bode obteve-se o pico e calculou o ζ , subsequente a ultrapassagem percentual, o tempo de acomodação, o instante de pico e o erro de regime permanente.

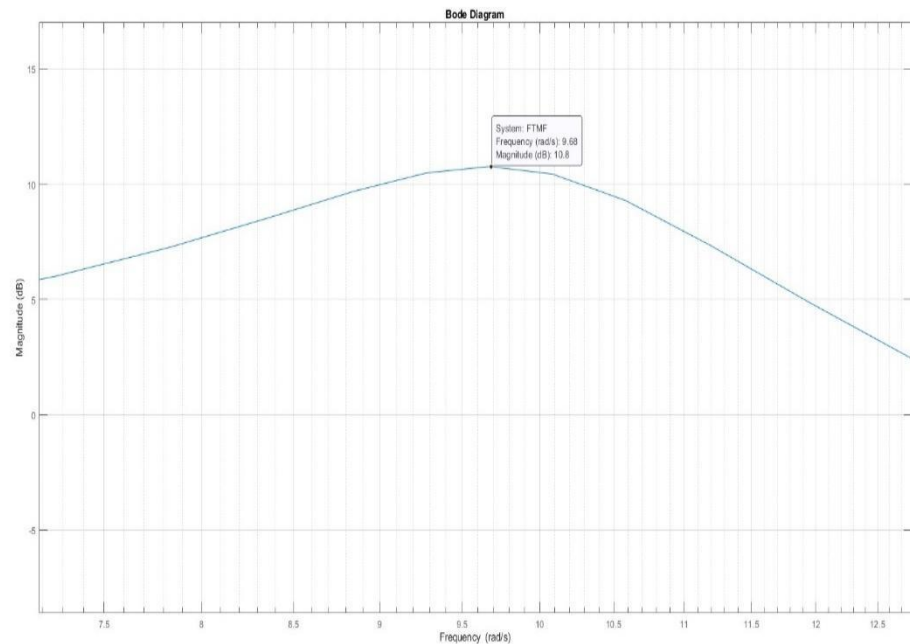


Figura 23: Ganho e frequência usado no sistema 1

$$M_p = 10,8 \text{ dB}$$

$$\omega_n = 9,67 \text{ rad/s}$$

Convertendo:

$$20 \log (M_p) = 10,8$$

$$M_p = 10^{\left(\frac{10,8}{20}\right)}$$

Em sequência utilizou-se as fórmulas levando em consideração,

$$0 \leq \zeta \leq 0,707.$$

$$\%UP = 63,31\%$$

$$T_s = 2,87\text{s}$$

$$T_p = 0.328\text{s}$$

$$K_p = 1$$

$$e_{ss}(t) = 0.5$$

Logo, em comparação aos dados obtidos pelo MATLAB, presencia uma boa aproximação com o sistema de segunda ordem.

Sistema 2:

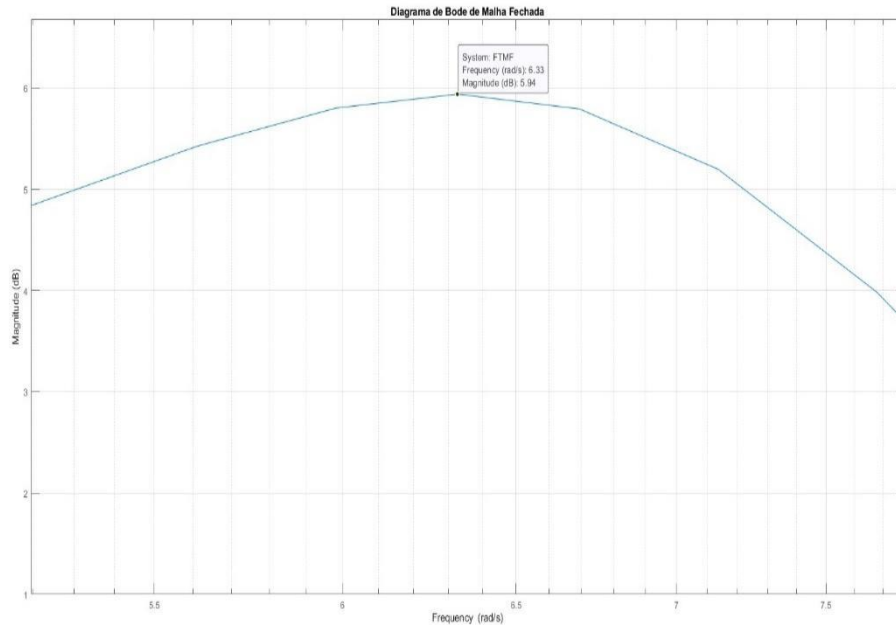


Figura 24: Ganho e frequência usado no sistema 2

$$M_p = 5,94 \text{ dB}$$

$$\omega_n = 6,33 \text{ rad/s}$$

Convertendo:

$$20 \log (M_p) = 5,94$$

$$M_p = 10^{\left(\frac{5,94}{20}\right)}$$

$$M_p = 10^{\left(\frac{10,8}{20}\right)}$$

Em sequência utilizou-se as fórmulas levando em consideração,

$$0 \leq \zeta \leq 0,707.$$

$$\%UP = 44,12\%$$

$$T_s = 2,507s$$

$$T_p = 0.512s$$

$$K_p = 1$$

$$e_{ss}(t) = 0.5$$

Em sequência, fez-se um código para que servisse para qualquer função de transferência de malha aberta:

```
clc
clear
close all
```

```
% Definir a função de transferência G(s) em malha aberta
disp('Deve ser digitado entre [] e do maior grau para o menor');
disp('Obs: não esquecer do zero');
num = input('Digite o numerador da função de transferência: ');
den = input('Digite o denominador da função de transferência: ');
G = tf(num, den);
```

```
% a. Construir os diagramas de Bode de malha aberta e malha fechada
figure;
bode(G); % Diagrama de Bode de malha aberta
title('Diagrama de Bode de Malha Aberta');
```

```
% Convertendo para malha fechada e plotando o diagrama de Bode
FTMF = feedback(G, 1);
figure;
bode(FTMF); % Diagrama de Bode de malha fechada
title('Diagrama de Bode de Malha Fechada');
```

```
% b. Utilizar métodos de resposta em frequência para estimar a ultrapassagem
% percentual, o tempo de acomodação e o instante de pico.
% função stepinfo
info = stepinfo(FTMF);
Ultrapassagem = info.Overshoot;
Tempo_de_acomodacao = info.SettlingTime;
instante_de_pico = info.PeakTime;
```

```
fprintf('Ultrapassagem percentual: %.2f%%\n', Ultrapassagem);
fprintf('Tempo de acomodação: %.2f\n', Tempo_de_acomodacao);
fprintf('Instante de pico: %.2f\n', instante_de_pico);
```

```
% c. Apresentar a resposta ao degrau em malha fechada
figure;
step(FTMF); % Resposta ao degrau em malha fechada
title('Resposta ao Degrau em Malha Fechada');
```

```
% d. Utilizar métodos de resposta em frequência para estimar o erro em regime
% permanente.
```

```

num1 = [1, 0];
den1 = 1;
derivador = tf(num1, den1);

% Obtendo as informações da resposta ao degrau
info_degrau = stepinfo(FTMF, 'SettlingTimeThreshold', 0.05);
Kp = dcgain(FTMF);
error_ssdegrau = 1 / (1 + Kp);

% Obtendo as informações da resposta à rampa
info_rampa = stepinfo(derivador * FTMF, 'SettlingTimeThreshold', 0.05);
Kv = dcgain(derivador * FTMF);
error_ssrama = 1 / Kv;

% Obtendo as informações da resposta à parábola
info_parabola = stepinfo(derivador * derivador * FTMF, 'SettlingTimeThreshold',
0.05);
Ka = dcgain(derivador * derivador * FTMF);
error_ssparabola = 1 / Ka;

fprintf('Erro em regime permanente resposta ao degrau: %.4f\n',
error_ssdegrau);
fprintf('Erro em regime permanente resposta a rampa: %.4f\n', error_ssrama);
fprintf('Erro em regime permanente resposta a parabola: %.4f\n',
error_ssparabola);

% e. Apresentar a resposta à rampa em malha fechada
%Usou Lsim
figure;
t = 0:0.01:10;
rampa = t;
[y_rampa, t_rampa] = lsim(FTMF, rampa, t);
plot(t_rampa, y_rampa); % Resposta à rampa em malha fechada
title('Resposta à Rampa em Malha Fechada');
xlabel('Tempo (s)');
ylabel('Saída');

% Apresentar a resposta à parábola em malha fechada
figure;
t = 0:0.01:10;
parabola = t.^2;
[y_parabola, t_parabola] = lsim(FTMF, parabola, t);
plot(t_parabola, y_parabola); % Resposta à parábola em malha fechada
title('Resposta à Parábola em Malha Fechada');
xlabel('Tempo');
ylabel('Saída');

```


Questão 4:

Nessa última questão foi feita uma análise a partir dos dados de função de transferência, margem de fase e de ganho e erro, para se obter um compensador de avanço de fase.

Diante disso, segue o código feito para a realização do compensador.

```
clc
clear
close all

aux = 0;% correção de fase
esst = (input("erro(%): ")/100);% erro definido%0.25
MF = input("Margem de Fase(º): ");% Margem de Fase definida(45)
MG = (input("Margem de Ganho(dB): ")); %Magem de Ganho definida

% Definindo a Função de Transferencia.
num = 10;
den = [1 11 10 0];
G = tf(num,den);

% Calculo de ganho a partir do erro de 25%
Kv = 1/esst;
derivador = tf([1 0],1);
GKv = G*derivador;
K = Kv/dcgain(GKv);

%Diagrama de Bode
[ganho,fase] = margin(K*G);
ganho = squeeze(ganho); % magnitude do ganho
valores_db = 20*log10(ganho); %convertendo para dB
while fase < MF || valores_db < MG
    % Margem de ganho e Margem de fase

    MFutil = MF-fase+aux;
    alfa = ((1- sind(MFutil))/(1+sind(MFutil)));

    ganho_desejado_dB = -20*log10(1/sqrt(alfa));
    [GANHO_KG,FASE_KG,w] = bode(K*G);
    % Encontrando o índice da frequência mais próxima da desejada
    [~, indice_frequencia] = min(abs(20*log10(GANHO_KG) -
    ganho_desejado_dB));

    % Obtendo o ganho correspondente à frequência desejada
    Wn = w(indice_frequencia);

    T = 1/(sqrt(alfa)*Wn);
    Wz = 1/T;
```

```

Wp = 1/(alfa*T);

% Compensador Avanço de Fase
Kc = K/alfa;

num_Gc = [Kc,Kc*Wz];
den_Gc = [1,Wp];
Gc = tf(num_Gc,den_Gc);
[ganho,fase] = margin(Gc*G);
aux = aux +0.01;

end

disp('ganho do compensado = ');
disp((20*log10(ganho)));
disp('fase do compensado = ');
disp(fase);

% Gráficos de Bode
hold on;
bode(G);
hold on;
bode(K*G);
hold on;
bode(Gc/K);
hold on;
bode(Gc*G);
hold on;

legend('G(s)', 'K*G(s)', 'Gc(s)/K', 'Gc(s)*G(s)');

% Simulação e obtenção das respostas
t = 0:0.01:10; % Tempo de simulação
u_step = ones(size(t)); % Degrau unitário
u_ramp = t; % Rampa unitária

G_malha_fechada = feedback(G,1);

% Sistema não compensado
[y_step_nao_compensado, ~] = step(G_malha_fechada, t);
[y_rampa_nao_compensado, ~] = lsim(G_malha_fechada, u_ramp, t);

Sist_comp_malha_fechada = feedback(Gc*G,1);
% Sistema compensado
[y_step_compensado, ~] = step(Sist_comp_malha_fechada, t);
[y_rampa_compensado, ~] = lsim(Sist_comp_malha_fechada, u_ramp, t);

Q = 1 + 0.*t;

```

% Plotagem dos gráficos

```
figure;
subplot(2,1,1);
plot(t, y_step_nao_compensado, 'b', t, y_step_compensado, 'r', t, Q, 'g');
xlabel('Tempo (s)');
ylabel('Resposta ao Degrau');
legend('Não Compensado', 'Compensado', 'Entrada degrau unitário', 'Localition');

subplot(2,1,2);
plot(t, y_rampa_nao_compensado, 'b', t, y_rampa_compensado, 'r', t, t, 'g');
xlabel('Tempo (s)');
ylabel('Resposta à Rampa');
legend('Não Compensado', 'Compensado', 'Entrada rampa unitária', 'Location', 'southeast');
```

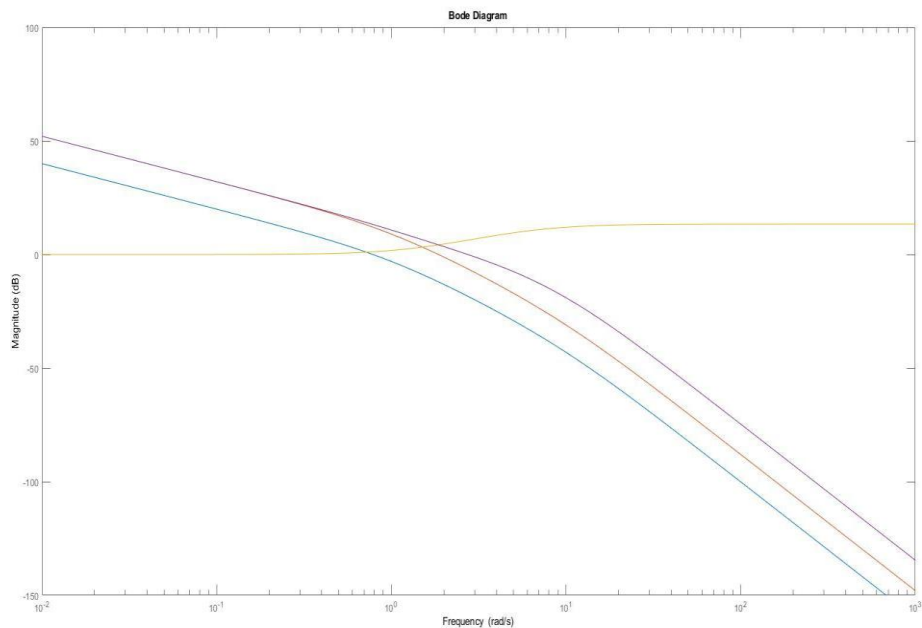


Figura 25: Diagrama de Bode (Módulo) de $G(s)$, $K*G(s)$, $G_c(s)/K$, $G_c(s)G(s)$.

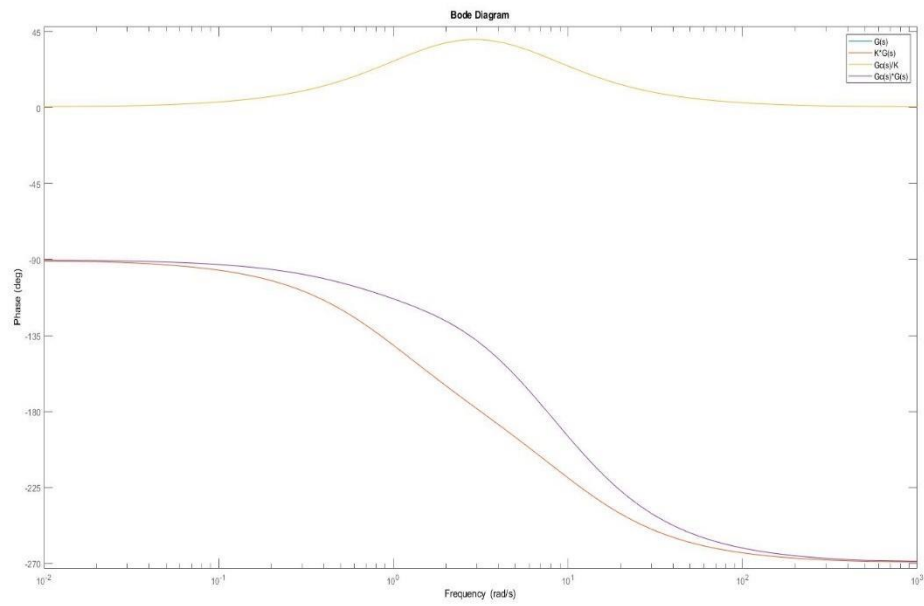


Figura 26: Diagrama de Bode (Fase) de $G(s)$, $K*G(s)$, $Gc(s)/K$, $Gc(s)G(s)$.

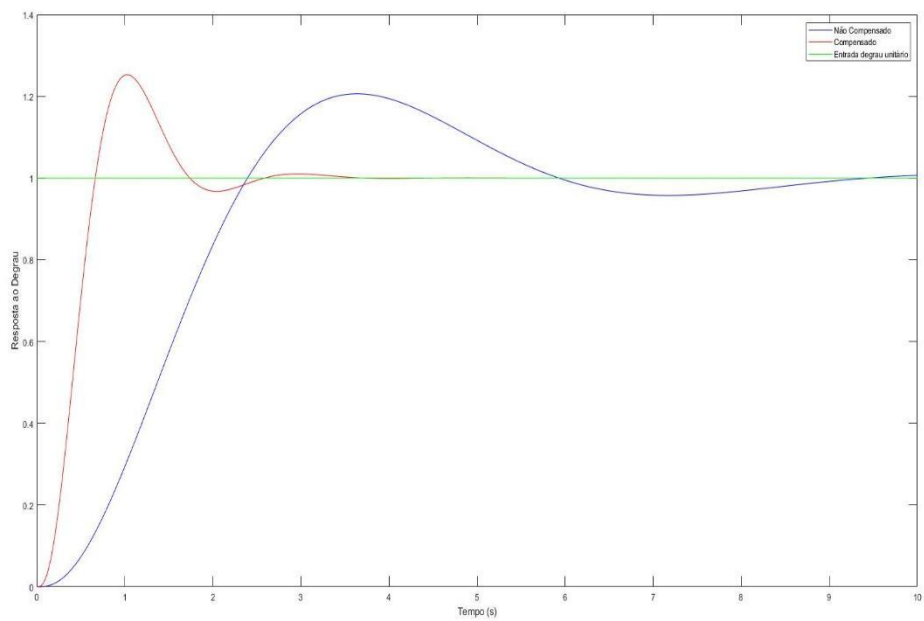


Figura 27: Resposta ao Degrau Compensado e Não Compensado.

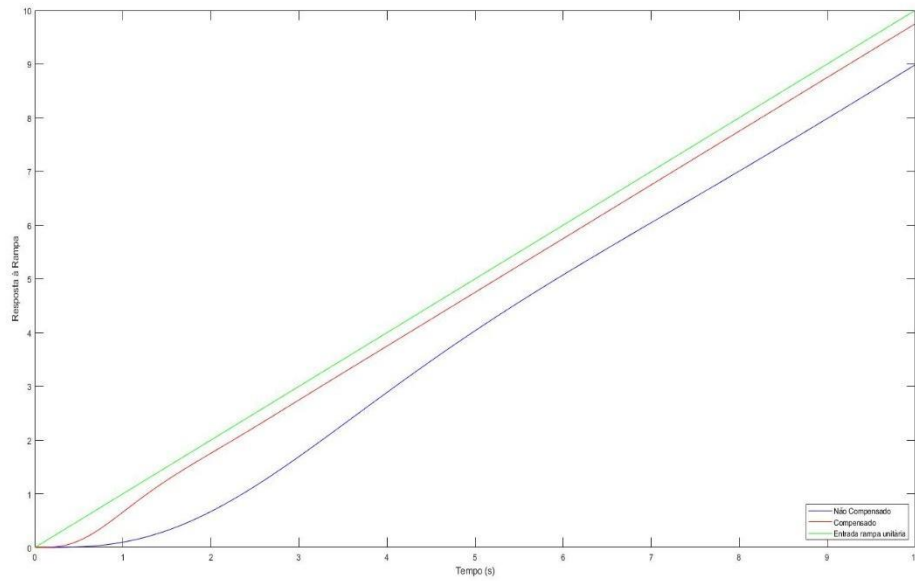


Figura 28: Resposta a Rampa Compensado e Não Compensado.

É notório que na figura 26 o gráfico de fase de $G(s)$ não está plotado no gráfico, isso ocorre pois o $K \cdot G(s)$ e $G(s)$ possuem a mesma onda de fase.

A fim de provar isso, temos esse outro gráfico de bode plotado apenas de $G(s)$:

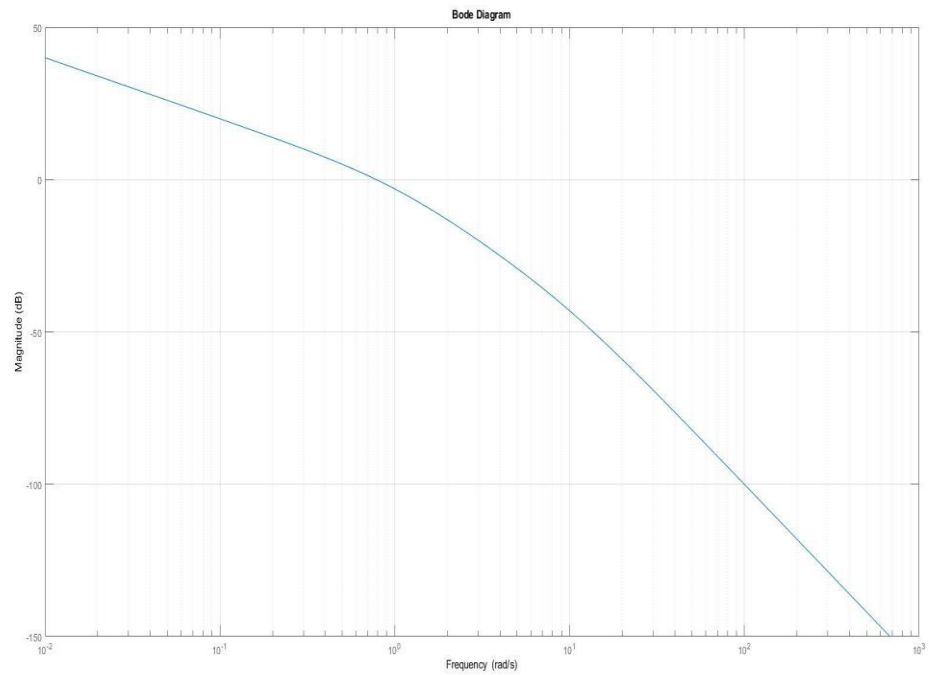


Figura 29: Diagrama de Bode $G(s)$ Módulo

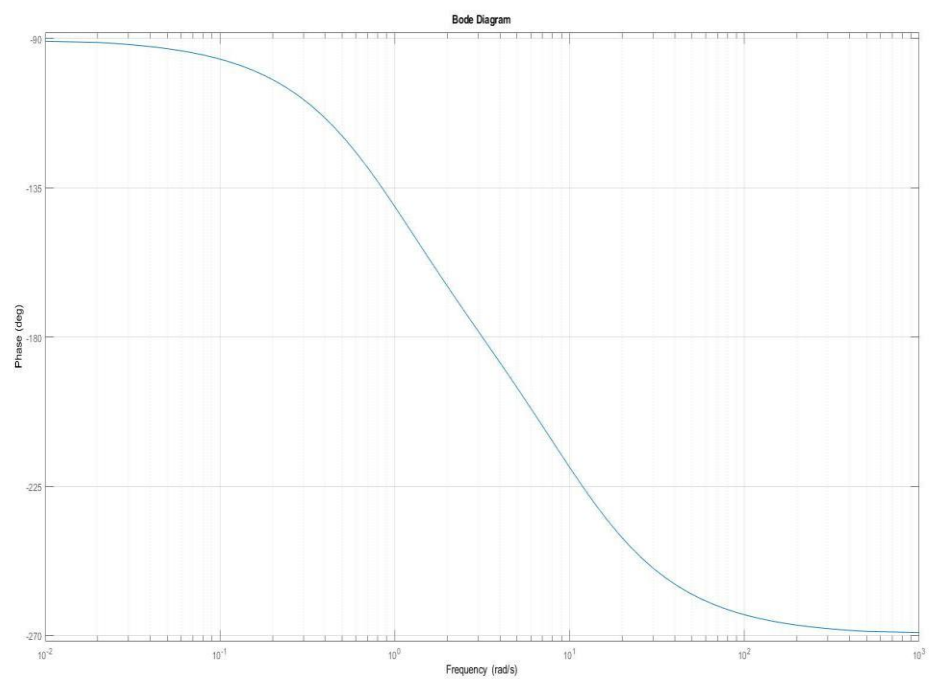


Figura 30: Diagrama de Bode $G(s)$ Fase.